

## Processamento Digital de Sinais 4458K-04 – Formulário

### 1. Fórmula de Euler

$$e^{j\Omega} = \cos(\Omega) + j\sin(\Omega) \quad \cos(\Omega) = \frac{e^{j\Omega} + e^{-j\Omega}}{2} \quad \sin(\Omega) = \frac{e^{j\Omega} - e^{-j\Omega}}{2j}$$

### 2. Soma de termos de uma PG

$$\sum_{k=m}^n r^k = \frac{r^{n+1} - r^m}{r - 1} \quad r \neq 1$$

### 3. Transformada Z

$$x[n] = \frac{1}{j2\pi} \oint X(z) z^{n-1} dz, \quad X(z) = \sum_{n=-\infty}^{\infty} x[n] z^{-n}, \quad z = re^{j\Omega}$$

### 4. DTFS

$$x[n] = \sum_{k=\langle N_0 \rangle} D_k e^{jk\Omega_0 n}, \quad D_k = \frac{1}{N_0} \sum_{n=\langle N_0 \rangle} x[n] e^{-jk\Omega_0 n}, \quad \Omega_0 = \frac{2\pi}{N_0}$$

### 5. Propriedades da DTFS

- $ax_1[n] + bx_2[n] \leftrightarrow aD_{1k} + bD_{2k}$  para  $x_1[n]$  e  $x_2[n]$  com igual  $N_0$  - Linearidade
- $x[n] \leftrightarrow D_k = D_{k+N_0}$  - Periodicidade em frequência
- $D_n \leftrightarrow \frac{1}{N_0} x[-k]$  - Dualidade
- $x[n-m] \leftrightarrow D_k e^{-jk\Omega_0 m}$  para  $m$  inteiro - Deslocamento no tempo
- $x[n] e^{jl\Omega_0 n} \leftrightarrow D_{k-l}$  para  $l$  inteiro - Deslocamento em frequência
- $x[-n] \leftrightarrow D_{-k}$  - Reversão (ou reflexão)
- $\sum_{m=\langle N_0 \rangle} x_1[m] x_2[n-m] \leftrightarrow N_0 D_{1k} D_{2k}$  - Convolução periódica no tempo
- $x_1[n] x_2[n] \leftrightarrow \sum_{l=\langle N_0 \rangle} D_{1l} D_{2(k-l)}$  - Convolução periódica (ou circular) em freq.
- $P_x = \frac{1}{N_0} \sum_{n=\langle N_0 \rangle} |x[n]|^2 = \sum_{k=\langle N_0 \rangle} |D_k|^2$  - Teorema de Parseval

### 6. DTFT

$$x[n] = \frac{1}{2\pi} \int_{2\pi} X(\Omega) e^{j\Omega n} d\Omega, \quad X(\Omega) = \sum_{n=-\infty}^{\infty} x[n] e^{-j\Omega n}$$

### 7. Pares de DTFTs

- $\delta[n] \leftrightarrow 1$
- $\delta[n-m] \leftrightarrow e^{-jm\Omega}$  para  $m$  inteiro

- $u[n] - u[n - m] \leftrightarrow \frac{\text{sen}(\frac{\Omega m}{2})}{\text{sen}(\frac{\Omega}{2})} e^{-j\Omega(m-1)/2}$
- $\gamma^n u[n] \leftrightarrow \frac{e^{j\Omega}}{e^{j\Omega} - \gamma} \quad |\gamma| < 1$
- $\gamma^n \cos(\Omega_0 n + \theta) u[n] \leftrightarrow \frac{e^{j\Omega} [e^{j\Omega \cos \theta} - \gamma \cos(\Omega_0 - \theta)]}{e^{j2\Omega} - (2\gamma \cos \Omega_0) e^{j\Omega} + \gamma^2} \quad |\gamma| < 1$
- $\cos(\Omega_0 n) u[n] \leftrightarrow \frac{e^{j2\Omega} - e^{j\Omega \cos \Omega_0}}{e^{j2\Omega} - 2\cos \Omega_0 e^{j\Omega} + 1} + \frac{\pi}{2} \sum_{k=-\infty}^{\infty} [\delta(\Omega - \Omega_0 - 2\pi k) + \delta(\Omega + \Omega_0 - 2\pi k)]$
- $\text{sen}(\Omega_0 n) u[n] \leftrightarrow \frac{e^{j\Omega \text{sen} \Omega_0}}{e^{j2\Omega} - 2\cos \Omega_0 e^{j\Omega} + 1} + \frac{\pi}{j2} \sum_{k=-\infty}^{\infty} [\delta(\Omega - \Omega_0 - 2\pi k) - \delta(\Omega + \Omega_0 - 2\pi k)]$

## 8. Propriedades da DTFT

- $ax_1[n] + bx_2[n] \leftrightarrow aX_1(\Omega) + bX_2(\Omega)$  - Linearidade
- $nx[n] \leftrightarrow j \frac{dX(\Omega)}{d\Omega}$  - Diferenciação em frequência
- $x[-n] \leftrightarrow X(-\Omega)$  - Reversão (ou reflexão)
- $x[n - m] \leftrightarrow X(\Omega) e^{-j\Omega m}$  para  $m$  inteiro - Deslocamento no tempo
- $x[n] e^{j\Omega_c n} \leftrightarrow X(\Omega - \Omega_c)$  - Deslocamento em frequência
- $x_1[n] * x_2[n] = \sum_{m=-\infty}^{\infty} x_1[m] x_2[n - m] \leftrightarrow X_1(\Omega) X_2(\Omega)$  - Convolução linear no tempo
- $x_1[n] x_2[n] \leftrightarrow \frac{1}{2\pi} \int_{2\pi} X_1(\Omega) X_2(\Omega - \omega) d\omega$  - Conv. periódica (ou circular) em freq.
- $E_x = \sum_{n=-\infty}^{\infty} |x[n]|^2 = \frac{1}{2\pi} \int_{2\pi} |X(\Omega)|^2 d\Omega$  - Teorema de Parseval

## 9. DFT

$$\tilde{x}[n] = \frac{1}{N_0} \sum_{k=\langle N_0 \rangle} X_k e^{jk\Omega_0 n}, \quad X_k = \sum_{n=\langle N_0 \rangle} \tilde{x}[n] e^{-jk\Omega_0 n}, \quad \Omega_0 = \frac{2\pi}{N_0}$$

## 10. Propriedades da DFT

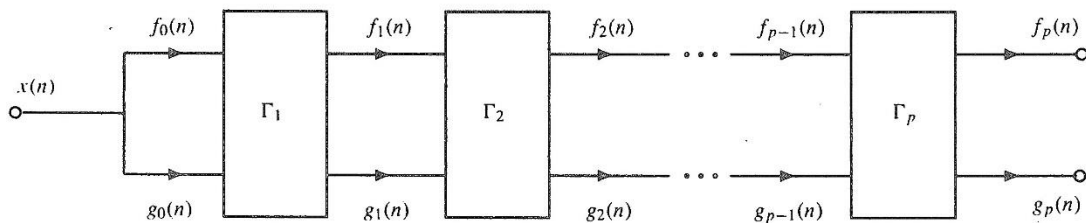
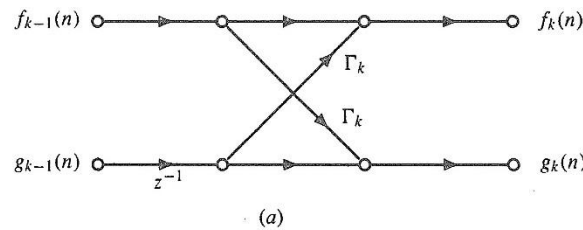
- $ax_1[n] + bx_2[n] \leftrightarrow aX_{1k} + bX_{2k}$  - Linearidade
- $x[n - m] \leftrightarrow X_k e^{-jk\Omega_0 m}$  para  $m$  inteiro - Deslocamento no tempo
- $x[n] e^{jl\Omega_0 n} \leftrightarrow X_{k-l}$  para  $l$  inteiro - Deslocamento em frequência
- $\sum_{m=\langle N_0 \rangle} x_1[m] x_2[n - m] \leftrightarrow X_{1k} X_{2k}$  - Convolução periódica (ou circular) no tempo
- $x_1[n] x_2[n] \leftrightarrow \frac{1}{N_0} \sum_{l=\langle N_0 \rangle} X_{1l} X_{2(k-l)}$  - Conv. periódica (ou circular) em frequência
- $E_x = \sum_{n=-\infty}^{\infty} |x[n]|^2 = \frac{1}{N_0} \sum_{k=\langle N_0 \rangle} |X_k|^2$  - Teorema de Parseval

## 11. Sistemas FIR

- $H(z) = \sum_{k=0}^M b_k z^{-k} \leftrightarrow y[n] = \sum_{k=0}^M b_k x[n - k]$  e  $h[n] = \sum_{k=0}^M b_k \delta[n - k]$
- Implementação usual  $\rightarrow$  **Forma Direta**
- Estruturas transpostas  $\rightarrow$  inversão dos sentidos de todos os ramos

- Cascata FIR  $\rightarrow \begin{cases} H(z) = \sum_{k=0}^M b_k z^{-k} = A \prod_{k=1}^M (1 - \beta_k z^{-1}) , \beta_k \text{ zeros de } H(z) \\ \text{c/zeros conjugados} \rightarrow H_k(z) = [1 - (\beta_k + \beta_k^*)z^{-1} + \beta_k \beta_k^* z^{-2}] \end{cases}$
- Estrutura com amostragem de frequência  $\rightarrow H(z) = \frac{(1-z^{-N})}{N} \sum_{k=0}^{N-1} \frac{H_k}{1 - e^{j2\pi k/N} z^{-1}}$   
 $H_k \rightarrow$  coeficientes da DFT de  $N$  pontos de  $h[n]$

- Treliza FIR  $\rightarrow \begin{cases} \text{r. ascendente: } A_k(z) = A_{k-1}(z) + \Gamma_k z^{-k} A_{k-1}(z^{-1}) , A_0(z) = 1 \\ \text{r. descendente: } \begin{cases} A_{k-1}(z) = \frac{1}{1 - \Gamma_k^2} [A_k(z) - \Gamma_k z^{-k} A_k(z^{-1})] \\ \text{com } A_k(z) = \sum_{l=0}^k a_l z^{-l} \rightarrow \Gamma_k = a_k \end{cases} \end{cases}$

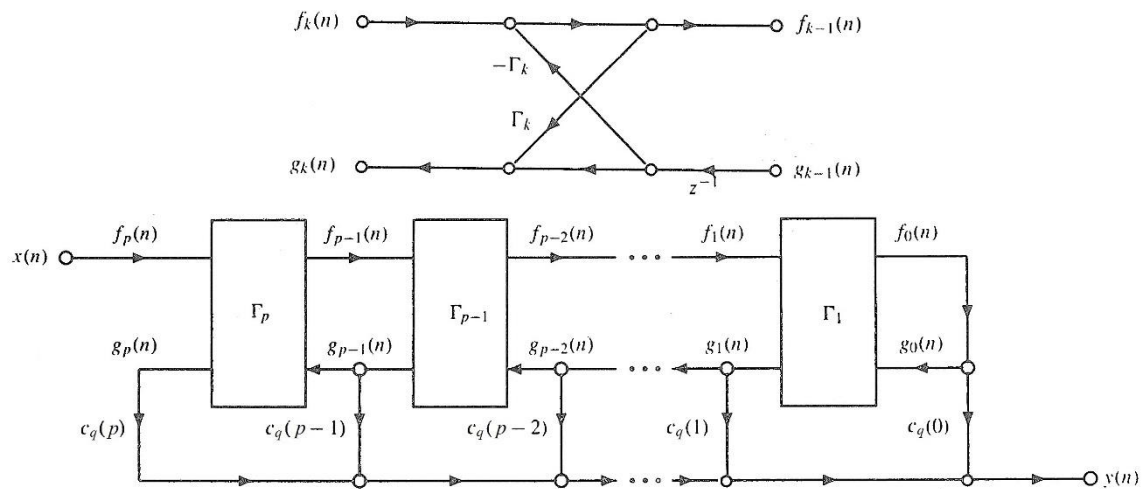


- Sist. de fase linear de ordem  $M \rightarrow h[n] = \sum_{k=0}^M b_k \delta[n - k] \rightarrow \angle H(e^{-j\Omega}) = -\frac{M}{2} \Omega$   
 $\begin{cases} \text{Tipo I: } M \text{ par e } h[n] = h[M - n] \rightarrow \text{sem restrições na resposta em frequência} \\ \text{Tipo II: } M \text{ ímpar e } h[n] = h[M - n] \rightarrow H(e^{j\pi}) = 0 \\ \text{Tipo III: } M \text{ par e } h[n] = -h[M - n] \rightarrow H(e^{j0}) = 0 \text{ e } H(e^{j\pi}) = 0 \\ \text{Tipo IV: } M \text{ ímpar e } h[n] = -h[M - n] \rightarrow H(e^{j0}) = 0 \end{cases}$

## 12. Sistemas IIR

- $H(z) = \frac{\sum_{k=0}^M b_k z^{-k}}{1 + \sum_{k=1}^N a_k z^{-k}} \leftrightarrow y[n] = \sum_{k=0}^M b_k x[n - k] - \sum_{k=1}^N a_k y[n - k]$
- Implementação usual  $\rightarrow$  **Forma Direta I** ou **Forma Direta II**
- Estruturas transpostas  $\rightarrow$  inversão dos sentidos de todos os ramos
- Cascata IIR  $\rightarrow \begin{cases} H(z) = A \prod_k H_k(z) , H_k(z) = \frac{1 - \beta_k z^{-1}}{1 - \alpha_k z^{-1}} \rightarrow \begin{cases} \beta_k \text{ zeros de } H(z) \\ \alpha_k \text{ pólos de } H(z) \end{cases} \\ \text{c/raízes conjugadas} \rightarrow H_k(z) = \frac{1 - (\beta_k + \beta_k^*)z^{-1} + \beta_k \beta_k^* z^{-2}}{1 - (\alpha_k + \alpha_k^*)z^{-1} + \alpha_k \alpha_k^* z^{-2}} \end{cases}$
- Estrutura paralela  $\rightarrow \begin{cases} \text{decomposição de } H(z) \text{ em frações parciais} \\ H(z) = \sum_k \frac{A_k}{1 - \alpha_k z^{-1}} \rightarrow \alpha_k \text{ pólos de } H(z) \\ \text{c/pólos conjugadas} \rightarrow H(z) = \sum_k \frac{B_{0k} + B_{1k} z^{-1}}{1 - \alpha_{1k} z^{-1} + \alpha_{2k} z^{-2}} \end{cases}$

- Treliça IIR → 
$$\left\{ \begin{array}{l} H(z) = \frac{\sum_{k=0}^q b_q(k) z^{-k}}{1 + \sum_{k=1}^p a_p(k) z^{-k}} = B_q(z) \frac{1}{A_p(z)}, \quad q \leq p \\ \text{mesmas recursões ascendente e descendente da treliça FIR} \\ \text{com } b_q(k) = \sum_{j=k}^q c_q(j) a_j(j-k), \quad k = 0, 1, \dots, p \\ \text{ou} \\ c_q(q) = b_q(q) \\ c_q(k) = b_q(k) - \sum_{j=k+1}^q c_q(j) a_j(j-k), \quad k = q-1, q-2, \dots, 0 \end{array} \right.$$



- Filtros passa-tudo → 
$$\left\{ \begin{array}{l} \text{equalizador de fase com } |H(z)| = 1 \\ H(z) = \prod_k \frac{z^{-1} - \alpha_k^*}{1 - \alpha_k z^{-1}} \rightarrow \alpha_k \text{ pólos de } H(z) \\ \text{c/pólos conjugadas} \rightarrow H(z) = \prod_k \frac{a_{2k} - a_{1k} z^{-1} + z^{-2}}{1 - a_{1k} z^{-1} + a_{2k} z^{-2}} \end{array} \right.$$

### 13. Filtros digitais

- Dados  $\left\{ \begin{array}{l} \text{frequências de corte } \Omega_c: \Omega_{CLP} \text{ (LP)}, \Omega_{CHP} \text{ (HP)} \text{ e } [\Omega_1, \Omega_2] \text{ (BP e BR)} \\ \text{limite banda de passagem: } \Omega_p, \text{ limite banda de rejeição: } \Omega_s \rightarrow \Omega_c = \frac{\Omega_p + \Omega_s}{2} \\ \text{ripple banda de passagem: } \delta_p, \text{ ripple banda de rejeição: } \delta_s \\ \text{máxima atenuação na banda de passagem (dB): } \alpha_p = -20 \log(1 - \delta_p) \\ \text{mínima atenuação na banda de rejeição (dB): } \alpha_s = -20 \log(\delta_s) \end{array} \right.$
- $h_d[n]$  ideais  $\left\{ \begin{array}{l} \text{passa - baixas: } h_{LP}[n] = \frac{\sin(\Omega_{CLP} n)}{n\pi}, \quad -\infty < n < \infty \\ \text{passa - altas: } h_{HP}[n] = (-1)^n h_{LP}[n], \quad \Omega_{CLP} = \pi - \Omega_{CHP} \\ \text{passa - banda: } h_{BP}[n] = 2 \cos(\Omega_0 n) h_{LP}[n], \quad \Omega_0 = \frac{\Omega_1 + \Omega_2}{2}, \quad \Omega_{CLP} = \frac{\Omega_2 - \Omega_1}{2} \\ \text{rejeita - banda: } h_{BR}[n] = \delta[n] - h_{BP}[n], \quad \Omega_0 = \frac{\Omega_1 + \Omega_2}{2}, \quad \Omega_{CLP} = \frac{\Omega_2 - \Omega_1}{2} \end{array} \right.$
- Filtros FIR causais  $\left\{ \begin{array}{l} h[n] = \sum_{k=0}^N b_k \delta[n-k] \quad y[n] = \sum_{k=0}^N b_k x[n-k] \\ \Omega = \frac{2\pi f}{f_a} \\ H(z) = \sum_{k=0}^N b_k z^{-k} \quad H(e^{j\Omega}) = \sum_{k=0}^N b_k e^{-jk\Omega} \end{array} \right.$

- Método das janelas  $\begin{cases} h[n] = h_d[n - N/2]w[n], \quad N \text{ par} \\ \text{com } h_d[n] \rightarrow \text{filtro ideal}, \quad w[n] \rightarrow \text{função janela} \end{cases}$
- Janelas  $\left\{ \begin{array}{l} \text{Retangular} \rightarrow w[n] = 1, 0 \leq n \leq N \\ \Delta\Omega = \frac{4\pi}{N} \quad \alpha_s = 21 \text{ dB} \quad \alpha_p = 0,8 \text{ dB} \\ \text{Von Hann (Hanning)} \rightarrow w[n] = 0,5 - 0,5 \cos\left(\frac{2\pi n}{N}\right), 0 \leq n \leq N \\ \Delta\Omega = \frac{8\pi}{N} \quad \alpha_s = 44 \text{ dB} \quad \alpha_p = 0,05 \text{ dB} \\ \text{Hamming} \rightarrow w[n] = 0,54 - 0,46 \cos\left(\frac{2\pi n}{N}\right), 0 \leq n \leq N \\ \Delta\Omega = \frac{8\pi}{N} \quad \alpha_s = 53 \text{ dB} \quad \alpha_p = 0,02 \text{ dB} \\ \text{Blackman} \rightarrow w[n] = 0,42 - 0,5 \cos\left(\frac{2\pi n}{N}\right) + 0,08 \cos\left(\frac{4\pi n}{N}\right), 0 \leq n \leq N \\ \Delta\Omega = \frac{12\pi}{N} \quad \alpha_s = 74 \text{ dB} \quad \alpha_p = 0,002 \text{ dB} \end{array} \right.$
- Filtros IIR  $\left\{ \begin{array}{l} y[n] = \sum_{k=0}^M b_k x[n-k] - \sum_{k=1}^N a_k y[n-k] \\ \Omega = \frac{2\pi f}{f_a} \\ H(z) = \frac{\sum_{k=0}^M b_k z^{-k}}{1 + \sum_{k=1}^N a_k z^{-k}} \quad H(e^{j\Omega}) = \frac{\sum_{k=0}^M b_k e^{-jk\Omega}}{1 + \sum_{k=1}^N a_k e^{-jk\Omega}} \end{array} \right.$
- Transformação Bilinear  $\left\{ \begin{array}{l} H_a(s) \rightarrow H(z): \quad s = 2f_a \frac{1-z^{-1}}{1+z^{-1}} \\ \text{pré - distorção: } f'_c = \frac{f_a}{\pi} \tan\left(\frac{\pi f}{f_a}\right) \end{array} \right.$

#### 14. Filtros analógicos

- ordem:  $N = \lceil \log(d) / \log(k) \rceil \quad d = \sqrt{\frac{(1-\delta_p)^{-2}-1}{\delta_s^{-2}-1}} \quad k = \frac{\omega_p}{\omega_s}$
- freq. de corte:  $\omega_p \left[ (1-\delta_p)^{-2} - 1 \right]^{-\frac{1}{2N}} \leq \omega_0 \leq \omega_s (\delta_s^{-2} - 1)^{-\frac{1}{2N}}$
- pólos de  $H_a(s)$ :  $s_k = \omega_0 e^{j\frac{N+1+2k}{2N}\pi}, \quad k = 0, 1, \dots, N-1$   
 $H_a(s) = \prod_{k=0}^{N-1} \frac{-s_k}{s-s_k}$
- Butterworth  $\left\{ \begin{array}{l} \text{Tabela com } D(s) \text{ para } \omega_0 = 1 \frac{\text{rad}}{s} \rightarrow H_a(s) = \frac{1}{D(s)} \\ D(s) = s^N + a_{N-1}s^{N-1} + a_{N-2}s^{N-2} + \dots + a_1s + a_0 \end{array} \right.$ 

N	a <sub>0</sub>	a <sub>1</sub>	a <sub>2</sub>	a <sub>3</sub>	a <sub>4</sub>	a <sub>5</sub>	a <sub>6</sub>	a <sub>7</sub>	a <sub>8</sub>	a <sub>9</sub>
1	1									
2	1	1.414								
3	1	2.000	2.000							
4	1	2.613	3.414	2.613						
5	1	3.236	5.236	5.236	3.236					
6	1	3.864	7.464	9.142	7.464	3.864				
7	1	4.494	10.098	14.592	14.592	10.098	4.494			
8	1	5.126	13.137	21.846	25.688	21.846	13.137	5.126		
9	1	5.759	16.582	31.163	41.986	41.986	31.163	16.582	5.759	
10	1	6.392	20.432	42.802	64.882	74.233	64.882	42.802	20.432	6.392

- Transformações  $\left\{ \begin{array}{l} H(s) \text{ original: passa – baixas com frequência de corte } \omega_0 \\ \text{Para obter passa – baixas com } \omega_0': s \rightarrow \frac{\omega_0}{\omega_0'} s \\ \text{Para obter passa – altas com } \omega_0': s \rightarrow \frac{\omega_0 \omega_0'}{s} \\ \text{Para obter passa – banda com } \omega_i \text{ e } \omega_s: s \rightarrow \omega_0 \frac{s^2 + \omega_s \omega_i}{s(\omega_s - \omega_i)} \\ \text{Para obter rejeita – banda com } \omega_i \text{ e } \omega_s: s \rightarrow \omega_0 \frac{s(\omega_s - \omega_i)}{s^2 + \omega_s \omega_i} \end{array} \right.$
- Gabaritos LP  $\left\{ \begin{array}{l} \text{HP } (\omega_s < \omega_p) \rightarrow \text{LP } (\omega_p' = 1): \omega_s' = \omega_p / \omega_s \\ \text{BP } (\omega_{is} < \omega_i < \omega_s < \omega_{ss}) \rightarrow \text{LP } (\omega_p' = 1): \omega_s' = \frac{\omega_{ss} - \omega_{is}}{\omega_s - \omega_i} \\ \text{BR } (\omega_i < \omega_{is} < \omega_{ss} < \omega_s) \rightarrow \text{LP } (\omega_p' = 1): \omega_s' = \frac{\omega_s - \omega_i}{\omega_{ss} - \omega_{is}} \\ \text{Condição de simetria para BP e BR } \rightarrow \omega_s \omega_i = \omega_{ss} \omega_{is} \end{array} \right.$